

انتقال حرارت جابجایی طبیعی در اطراف یک کره در یک محیط متخلخل برای اعداد ریلی کوچک و با استفاده از تئوری اغتشاشات

مسعود میرزا^۱
دانشجوی دکتری

سیامک اسماعیل زاده خادم
استادیار

دانشکده مهندسی مکانیک، دانشگاه تربیت مدرس

چکیده

در این مقاله انتقال حرارت طبیعی در اطراف کره‌ای در یک محیط متخلخل اثبات شده از سیال برای اعداد ریلی کوچک (Small Rayleigh numbers) و با استفاده از تئوری اغتشاشات (Perturbation Theory) تحلیل می‌شود. شرایط مسئله بدین صورت است که به طور ناگهانی (در لحظه صفر) کره در معرض یک شار حرارتی قرار می‌گیرد. توزیع دما و میدان جریان به صورت حل‌های مجانبی (Asymptotic Solutions) بر حسب عدد ریلی محاسبه می‌شود.

Application of Perturbation Theory to the Problem of Natural Convection Around a Sphere in a Porous Medium at Small Rayleigh Numbers

S. Esmaeilzadeh Khadem
Assistant Professor

M. Mirzaei
Ph. D. Student

Mechanical Engineering Department
Tarbiat Modarres University

Abstract

In this paper, natural convection around a sphere immersed in a porous medium at small Rayleigh numbers by Perturbation theory is studied. A sphere is suddenly faced with a heat flux, and asymptotic solutions for temperature distribution and fluid field at small Rayleigh numbers are computed.

۱- مقدمه

$$u' = -\frac{k}{\mu} \left(\frac{\partial P'}{\partial r'} + \rho_f g \cos \theta \right) \quad (2a)$$

$$v' = -\frac{k}{\mu} \left(\frac{1}{r'} \frac{\partial P'}{\partial \theta} - \rho_f g \sin \theta \right) \quad (2b)$$

معادله انرژی

$$\begin{aligned} & \left[\rho_f (C_p)_f \phi + (1 - \phi) \rho_s (\phi)_s \left(\frac{\partial t'}{\partial r'} \right) + [\rho (C_p)_f \left(u' \frac{\partial t'}{\partial r'} + v' \frac{\partial t'}{\partial \theta} \right) \right] \\ & = K \lambda \left[\frac{1}{r'^2} \frac{\partial}{\partial r'} (r'^2 \frac{\partial t'}{\partial r'}) + \frac{1}{r'^2 \sin \theta} \frac{\partial}{\partial \theta} (\sin \theta \frac{\partial t'}{\partial \theta}) \right] \end{aligned} \quad (3)$$

که معادلات حاکم در دستگاه مختصات کروی (r', θ, ϕ) نوشته شده است که: $r' = 0$ در مرکز کره، $\theta = 0$ در جهت خلاف جاذبه، t' زمان، u' و v' به ترتیب سرعت در جهات r' و θ ، k ضریب نفوذ (permeability) محیط، λ ضریب انتقال حرارت هدایتی مؤثر (که به صورت k_s معرفی شود) $\lambda = \phi k_f + (1 - \phi) k_s$ و λ تعريف می شود. ϕ ضریب تخلخل، m ویسکوزیته و μ دانسیته می باشد. زیرنویس s مربوط به محیط سیال می باشد. با معرفیتابع جريان ψ' به صورت زیر می توان معادلات حاکم را به فرم ساده تری نوشت:

$$\begin{aligned} u' &= \frac{1}{r' \sin \theta} \frac{\partial \psi'}{\partial \theta} \\ v' &= -\frac{1}{r' \sin \theta} \frac{\partial \psi'}{\partial r'} \end{aligned} \quad (4)$$

با تعريف این تابع معادله پیوستگی خود به خود ارضا شده و معادلات سرعت (۲a) و (۲b) با هم ترکیب شده و معادله زیر حاصل می شود:

$$\frac{1}{r'} \frac{\partial}{\partial \theta} \left(\frac{1}{r' \sin \theta} \frac{\partial \psi'}{\partial \theta} \right) + \frac{1}{\sin \theta} \frac{\partial^2 \psi'}{\partial r'^2} = \frac{g \beta k}{v} (\cos \theta \frac{\partial t'}{\partial \theta} + r' \sin \theta \frac{\partial t'}{\partial r'}) \quad (5)$$

شرط اولیه و شرایط مرزی این معادله عبارتند از:

$$\Psi' = 0 \quad , \quad t' = T_{\infty} \quad (6a)$$

$$r' = r_0 \quad : \quad \Psi' = 0 \quad , \quad -\lambda \frac{\partial t'}{\partial r'} = q' \quad (6b)$$

انتقال حرارت جابجایی طبیعی در اطراف اجسام گرم در محیط های متخلخل اشباع شده از سیال، موضوعی است که به لحاظ کاربردهای صنعتی آن مطالعات زیادی را به خود اختصاص داده است. از جمله کاربردهای مهم این موضوع مسائل حرارتی ضایعات هسته ای دفن شده و تأثیرات آنها بر محیط می باشد. اجسام کروی از جمله عمومی ترین شکل های مواد ضایعاتی هسته ای می باشد. برای اولین بار Yamamoto (1974) مسئله جابجایی طبیعی را در اطراف کره در یک محیط متخلخل مورد بررسی قرار داده است. او جابجایی طبیعی را برای اعداد ریلی کوچک و در حالت دائم به صورت حل های مجانبی با شرایط مرزی روی سطح کره تحلیل کرد. پس از او Cheng (1985), Nakayama (1987), Merkin (1979) و Pop (1990, 1992, 1993) همین مسئله را در شرایطی که دمای سطح ثابت نباشد و عدد ریلی بزرگ باشد مورد بررسی قرار دادند اخیراً Ganapathy (1992) انتقال حرارت جابجایی طبیعی غیر دائم در اطراف کره را مورد بررسی قرار داده است.

در تحقیقات دیگری Afzal (1990), Bejan (1978, 1984), Wooding (1963) انتقال حرارت طبیعی ناشی از وجود یک منبع حرارتی نقطه ای (که در واقع حالت حدی هندسه یک کره وقتی که شعاع به سمت صفر میل می کند) را مورد بررسی قرار دادند. Sano and Okihara (1995) انتقال حرارت طبیعی در اطراف یک کره در شرایطی که سطح آن به طور ناگهانی در لحظه صفر تحت تأثیر یک شار حرارتی ثابت قرار گیرد را به صورت حل های مجانبی بر حسب عدد ریلی تحلیل کردند، ولی جواب بدست آمده در معادلات حاکم صدق نمی کند. در این مقاله ضمن اثبات عدم صدق جواب ارائه شده در معادلات حاکم، جواب واقعی بدست آمده و با جواب غلط به صورت ترسیمی مقایسه می شوند.

۲- معادلات حاکم

فرض می کنیم کره ای که در یک محیط متخلخل اشباع شده از یک سیال در دمای T_{∞} قرار دارد، به طور ناگهانی در زمان $t = 0$ در معرض یک شار حرارتی ثابت (q_w) قرار می گیرد. معادلات حاکم با در نظر گرفتن تقریب بوزینسک (Boussinesq) عبارتند از:

$$\frac{\partial}{\partial r'} (r'^2 u' \sin \theta) + \frac{\partial}{\partial \theta} (r' v' \sin \theta) = 0 \quad (1)$$

۳- حل معادلات

با فرض اینکه عدد ریلی کوچک است ($Ra \ll 1$)
می‌توان از روش Regular Perturbation استفاده کرد و
حل معادلات (۹) و (۱۰) را به صورت زیر نوشت:

$$\Psi = \Psi_0(r, \theta, \tau) + Ra\Psi_1(r, \theta, \tau) + Ra^2\Psi_2(r, \theta, \tau) + \dots \quad (12)$$

$$t = t_0(r, \theta, \tau) + Ra t_1(r, \theta, \tau) + Ra^2 t_2(r, \theta, \tau) + \dots \quad (13)$$

این بسط‌ها برخلاف حالتی که سیال در یک محیط غیر متخلخل باشد، برای نواحی $0 \leq \tau \leq \infty$, $1 \leq r \leq \infty$ معتبر می‌باشد. این موضوع بدین علت است که جریان سیال در داخل یک محیط متخلخل با افت فشار زیادی همراه می‌باشد. در نتیجه مکانیزم انتقال حرارت جابجایی در مقابل مکانیزم انتقال حرارت هدایتی، اثر کمتری را خواهد داشت.

معادلات مربوط به Ψ_i و t_i ($i = 0, 1, 2, \dots$) را می‌توان با جایگزینی معادلات (۱۲) و (۱۳) در معادلات (۹) و (۱۰) و معادل قرار دادن ضرایب توان‌های یکسان Ra در طرفین معادله به دست آورد.

الف- توابع مرتبه صفر (Ψ_0 و t_0)

معادلات مربوط به این توابع با معادل قرار دادن ضرایب $Ra = 1$ حاصل می‌شود:

$$\Psi_0 = 0 \quad (15)$$

$$\frac{\partial t_0}{\partial \tau} = \frac{1}{r^2 \sin \theta} \left[\frac{\partial}{\partial \theta} (\sin \theta \frac{\partial t_0}{\partial \theta}) \right] + \frac{1}{r^2} \frac{\partial}{\partial r} (r^2 \frac{\partial t_0}{\partial r}) \quad (16)$$

اولین عبارت سمت راست معادله (۱۶) صفر می‌باشد. چون در معادله (۱۴) اگر $Ra = 0$ قرار دهیم، باید $t_0 \rightarrow t$ که این معادل هدایت خالص (Pure Conduction) می‌باشد. در نتیجه توزیع دما مستقل از θ خواهد شد و معادله (۱۶) به صورت زیر در خواهد آمد:

$$\frac{\partial t_0}{\partial \tau} = \frac{1}{r^2} \frac{\partial}{\partial r} (r^2 \frac{\partial t_0}{\partial r}) \quad (17)$$

معادله فوق در مرجع [۱۰] حل شده است که حل آن چنین است:

$$r' \rightarrow \infty : \frac{\Psi'}{r'} = \text{محدود}, t' \rightarrow T_\infty \quad (18c)$$

حال پارامترهای بدون بعد زیر را تعریف می‌کنیم.

$$r = r'/r_0, \tau = \frac{\alpha \tau'}{\sigma k} \quad (18a)$$

$$\alpha = \frac{k_f}{\rho_f (C_p)_f} \text{ و } \sigma = \frac{\phi \rho_f (C_p)_f + (1 - \phi) \rho_s C_s}{\rho_f (C_p)_f} \quad (18b)$$

می‌باشد. همچنین:

$$u = \frac{u'}{U_r}, v = \frac{v'}{U_r}, \Psi = \frac{\Psi'}{U_r r \theta} \quad (18c)$$

$$t = \frac{\lambda (t' - t_\infty)}{r_0 q_w} \quad (18d)$$

در این معادلات r_0 شعاع کره و U_r می‌باشد.
با اعمال پارامترهای بدون بعد در معادلات (۲) و (۴) و همچنین اعمال شرایط مرزی و اولیه به معادلات زیر می‌رسیم:

$$\frac{1}{r^2} \frac{\partial}{\partial \theta} \left(\frac{1}{\sin \theta} \frac{\partial \Psi}{\partial \theta} \right) + \frac{1}{\sin \theta} \frac{\partial^2 \Psi}{\partial r^2} = Ra \left(\cos \theta \frac{\partial t}{\partial \theta} + r \sin \theta \frac{\partial t}{\partial r} \right) \quad (19)$$

$$\frac{\partial t}{\partial \tau} + \frac{1}{r^2 \sin \theta} \left(\frac{\partial \Psi}{\partial \theta} \frac{\partial t}{\partial r} - \frac{\partial \Psi}{\partial r} \frac{\partial t}{\partial \theta} \right) = \frac{1}{r^2} \frac{\partial}{\partial r} (r^2 \frac{\partial t}{\partial r}) + \frac{1}{r^2 \sin^2 \theta} \frac{\partial}{\partial \theta} (\sin \theta \frac{\partial t}{\partial \theta}) \quad (20)$$

که در این معادلات Ra عدد ریلی بوده و چنین تعریف می‌شود:

$$Ra = \frac{g \beta q_w k r_0^2}{\alpha v r} \quad (21)$$

شرایط مرزی و شرایط اولیه با اعمال پارامترهای بدون بعد چنین خواهند شد.

$$\tau = 0 : \psi = 0, t = 0 \quad (22a)$$

$$r \rightarrow \infty : \frac{\Psi}{r} = \text{محدود}, t = 0 \quad (22b)$$

در اینجا اثبات می‌شود که معادله (۲۲) در معادله (۲۱) صدق نخواهد کرد؛ معادله (۲۲) را در معادله دیفرانسیل (۲۱) قرار می‌دهیم و پس از ساده‌سازی طرفین معادله به عبارت زیر خواهیم رسید:

$$-(r - 1)^2 + 2\tau = 0 \quad (24)$$

که رابطه (۲۴) در واقع یک تناقض است، چرا که طرف چپ الزاماً برابر با صفر نمی‌باشد. بنابراین در اینجا حل واقعی معادله (۲۱) را بدست می‌آوریم. فرض می‌کنیم جواب معادله (۲۱) به صورت زیر باشد:

$$\psi_1 = f(r, \tau) \sin^2 \theta \quad (25)$$

با قرار دادن معادله (۲۵) در معادله (۲۱) داریم:

$$\frac{\partial^2 f}{\partial r^2} - \frac{2}{r^2} f = \left(\frac{1}{r} - 1\right) \exp(r - 1 + \tau) \operatorname{erfc}(\eta + \sqrt{\tau}) - \frac{1}{r} \operatorname{erfc}(\eta) \quad (26)$$

معادله (۲۶) غیر همگن و خطی می‌باشد. لذا یک حل همگن و یک حل مخصوص (Particular) بدست آورده و آنها را با هم ترکیب کرده تا جواب نهایی بدست آید. پس ابتدا معادله همگن را حل می‌کنیم:

$$\frac{\partial^2 f_h}{\partial r^2} - \frac{2}{r^2} f_h = 0 \quad (27)$$

برای حل معادله (۲۷) از روش جداسازی متغیرها (Separation of variables) استفاده می‌کنیم:

$$f_h = R(r) T(\tau) \quad (28)$$

جایگزینی در معادله (۲۸) :

$$R'' - \frac{2}{r^2} R = 0 \quad (29)$$

جواب عمومی معادله (۲۹) به فرم زیر است:

$$R = C_1 r^{-1} + C_2 r^2 \quad (30)$$

در نتیجه حل کامل معادله (۲۶) چنین است:

$$t_0 = \frac{1}{r} [\operatorname{erfc}\eta - \exp(r - 1 + \tau) \operatorname{erfc}(\eta + \sqrt{\tau})] \quad (18)$$

که در معادله فوق $\frac{(r - 1)}{(2\sqrt{\tau})}$ می‌باشد.

ب- توابع مرتبه اول (ψ_1 و t_1)

معادلات دیفرانسیل مربوط به این توابع با معادله قرار دادن ضرایب R_a بدست می‌آیند:

$$\frac{1}{r^2} \frac{\partial}{\partial \theta} \left(\frac{1}{\sin \theta} \frac{\partial \psi_1}{\partial \theta} \right) + \frac{1}{\sin \theta} \frac{\partial^2 \psi_1}{\partial r^2} = \cos \theta \frac{\partial t_0}{\partial \theta} + r \sin \theta \frac{\partial t_0}{\partial r} \quad (19)$$

$$\frac{\partial t_1}{\partial r} + \frac{1}{r \sin \theta} \left(\frac{\partial \psi_1}{\partial \theta} \frac{\partial t_0}{\partial r} - \frac{\partial \psi_1}{\partial r} \frac{\partial t_0}{\partial \theta} \right) = \frac{1}{r^2} \frac{\partial}{\partial r} (r^2 \frac{\partial t_0}{\partial r}) + \frac{1}{r^2 \sin \theta} \frac{\partial}{\partial \theta} (\sin \theta \frac{\partial t_1}{\partial \theta}) \quad (20)$$

با جایگزینی معادله (۱۸) در (۱۹) به معادله زیر می‌رسیم:

$$\begin{aligned} \frac{1}{r^2} \frac{\partial}{\partial \theta} \left(\frac{1}{\sin \theta} \frac{\partial \psi_1}{\partial \theta} \right) + \frac{1}{\sin \theta} \frac{\partial^2 \psi_1}{\partial r^2} &= \sin \theta \\ \left[\left(\frac{1-r}{r} \right) e^{(r-1+\tau)} \operatorname{erfc} \left(\frac{r-1+2\tau}{2\sqrt{\tau}} \right) - \frac{1}{r} \operatorname{erfc} \left(\frac{r-1}{2\sqrt{\tau}} \right) \right] \end{aligned} \quad (21)$$

حل این معادله در مرجع [۱۰] بدون ذکر جزئیات روند حل به صورت زیر ارائه شده است: (البته در مرجع [۱۰] با توجه به نحوه متفاوت بی بعد کردن معادلات این جواب برای ψ_0 بدست آمده است ولی جواب مذکور در این مقاله به عنوان ψ محاسبه می‌شود).

$$\begin{aligned} \psi_1 = & \left[\left(\frac{1}{r} - 1 \right) \exp(r - 1 + \tau) . \operatorname{erfc}(\eta + \sqrt{\tau}) + \left(r - \frac{1}{r} \right) \operatorname{erfc}(\eta) \right. \\ & \left. + \frac{1}{r} (2\sqrt{\tau} i \operatorname{erfc}(\eta) - 4\tau i^2 \operatorname{erfc}(\eta) + \tau) \right] \sin^2 \theta \quad (22) \end{aligned}$$

که تابع $(x) i^n \operatorname{erfc}(x)$ چنین تعریف می‌شود:

$$i^n \operatorname{erfc}(x) = \begin{cases} \int_x^\infty i^{n-1} \operatorname{erfc}(y) dy & (n = 1, 2, \dots) \\ \operatorname{erfc}(x) & (n = 0) \end{cases} \quad (23)$$

باتوجه به طرف راست معادله (۳۶) ملاحظه می شود که عبارت $e^{-\eta^2}$ به عنوان یک ضریب وجود دارد. پس احتمالاً جوابی که برای η وجود دارد، به فرم $\alpha e^{-\eta^2}$ می باشد یک ضریب ثابت می باشد). پس به جای η عبارت $\alpha e^{-\eta^2}$ را در معادله (۳۶) قرار می دهیم:

$$\begin{aligned} \alpha \frac{g(\tau)}{4\tau} (-2 + 4\eta^2) e^{-\eta^2} - \left[\frac{2\alpha}{r^2} g(\tau) \right] e^{-\eta^2} \\ = \left[\frac{e^{-\eta^2}}{\sqrt{\pi}\tau} - 2\eta^2 \frac{e^{-\eta^2}}{\sqrt{\pi}\tau} \right] - \frac{2}{r^2} \left[-2 \sqrt{\frac{\tau}{\pi}} e^{-\eta^2} \right] \end{aligned} \quad (37)$$

با معادل قرار دادن عبارات در طرفین معادله (۳۷) به معادلات زیر می رسیم:

$$\alpha g(\tau) = -2 \sqrt{\frac{\tau}{\pi}} \quad (38a)$$

$$-2\alpha \frac{g(\tau)}{4\tau} = \frac{1}{\sqrt{\pi}\tau} \quad (38b)$$

$$\frac{\alpha g(\tau)}{\tau} = \frac{-2}{\sqrt{\pi}\tau} \quad (38c)$$

سه معادله فوق از یکدیگر مستقل نمی باشند. معادلات (۳۸-a) و (۳۸-b) دقیقاً یکسان می باشند، پس در واقع دو معادله و دو مجهول داریم که جواب آنها عبارت است از:

$$g(\tau) = \sqrt{\tau} \quad (39a)$$

$$\alpha = \frac{-2}{\sqrt{\pi}} \quad (39b)$$

پس η و $T(\eta)$ بدست آمدند و تنها مجهول $T(\tau)$ می باشد که با اعمال شرط مرزی $T(0) = 0$ بر روی سطح کره بدست می آید:

$$r = 1 : \psi_1(1, \tau) = 0 \quad (\text{روی سطح کره})$$

در نتیجه

$$\left[-2 \sqrt{\frac{\tau}{\pi}} + (2 \sqrt{\tau} i \operatorname{erfc}(0) - 4\tau i^2 \operatorname{erfc}(0) + T(\tau)) \right] = 0$$

با توجه به اینکه

$$\operatorname{erfc}(0) = \frac{1}{\sqrt{\pi}}$$

$$i^2 \operatorname{erf}(0) = \frac{1}{4}$$

$$f = f_h + f_p = T(\tau) (C_1 r^{-1} + C_2 r^2) + f_p \quad (31)$$

از آنجا که وقتی $\tau \rightarrow \infty$ مقدار f باید محدود باشد، لذا $C_2 = 0$ می باشد. در نتیجه:

$$f = T(\tau) r^{-1} + f_p(\tau, r) \quad (32)$$

حال مسئله مهم پیدا کردن $f_p(\tau, r)$ می باشد. باتوجه به عبارت سمت راست معادله (۲۶) این عبارت بر حسب η , r بوده که البته η خود تابعی از r , τ می باشد. از طرف دیگر در اولین عبارت سمت راست معادله (۲۶) عبارت $\exp(r - 1 + \tau)$ ظاهر شده است که بیانگر این است که قطعاً قسمتی از جواب f_p دارای چنین عبارتی خواهد بود. لذا این موضوع باعث می شود که برای f_p فرم زیر پیشنهاد شود:

$$\begin{aligned} f_p &= g(\tau) B(\eta) + \left(\frac{1}{r} - 1 \right) e^{r-1+\tau} \operatorname{erfc}(\eta + \sqrt{r}) + (r - \frac{1}{r}) \operatorname{erfc}(\eta) \\ &+ \frac{1}{r} \left[2 \sqrt{\tau} i \operatorname{erfc}(\eta) - 4 \tau i^2 \operatorname{erfc}(\eta) \right] \end{aligned} \quad (33)$$

که (τ) g و $B(\eta)$ توابع مجهولی می باشند که پس از قرار دادن f در معادله دیفرانسیل مربوطه بدست می آید، لذا f به فرم زیر می باشد:

$$\begin{aligned} f &= g(\tau) B(\eta) + \left(\frac{1}{r} - 1 \right) e^{r-1+\tau} \operatorname{erfc}(\eta + \sqrt{r}) + (r - \frac{1}{r}) \operatorname{erfc}(\eta) \\ &+ \frac{1}{r} \left[2 \sqrt{\tau} i \operatorname{erfc}(\eta) - 4 \tau i^2 \operatorname{erfc}(\eta) + T(\tau) r^{-1} \right] \end{aligned} \quad (34)$$

تابع (τ) , $T(\tau)$ و $B(\eta)$ پس از قرار دادن معادله (۳۴) در معادله دیفرانسیل (۲۶) و اعمال شرایط مرزی اولیه بدست می آیند. با جایگذاری معادله (۳۴) در معادله (۲۶) و پس از ساده سازی خواهیم داشت:

$$\frac{1}{4\tau} g(\tau) B''(\eta) - \frac{2}{r^2} B(\eta) g(\tau) = \frac{e^{-\eta^2}}{\sqrt{\pi}\tau} - 2\eta^2 \frac{e^{-\eta^2}}{\sqrt{\pi}\tau} + \frac{4}{r^2} \sqrt{\frac{\tau}{\pi}} e^{-\eta^2} \quad (35)$$

$$\begin{aligned} \text{معادله (۳۵) را می توان چنین مرتب کرد:} \\ \frac{1}{4\tau} g(\tau) B''(\eta) - \frac{2}{r^2} B(\eta) g(\tau) = \left[\frac{e^{-\eta^2}}{\sqrt{\pi}\tau} - 2\eta^2 \frac{e^{-\eta^2}}{\sqrt{\pi}\tau} \right] - \frac{2}{r^2} \left[\left(-2 \sqrt{\frac{\tau}{\pi}} \right) e^{-\eta^2} \right] \end{aligned} \quad (36)$$

در نتیجه (τ) چنین محاسبه می شود:

$$T(\tau) = \tau$$

پس در نهایت ψ برابر است با:

$$\begin{aligned} \psi_1 = & \left[-2 \sqrt{\frac{\pi}{\tau}} e^{-\eta^2} + \left(\frac{1}{\tau} - 1 \right) \exp(r - 1 + \tau) \operatorname{erfc}(\eta + \sqrt{\tau}) \right. \\ & \left. + \left(r - \frac{1}{\tau} \right) \operatorname{erfc}\eta + \frac{1}{\tau} \left(2\sqrt{\tau} i \operatorname{erfc}\eta - 4\tau i^2 \operatorname{erfc}\eta + \tau \right) \right] \sin \theta \end{aligned} \quad (40)$$

نتیجه‌گیری و بحث

در شکل شماره ۱ کانتورهای Ψ ثابت برای زمان‌های $\tau = 3.0$, $\tau = \infty$, $\tau = 0.1$ برای حل ارائه شده در مقاله موجود و همچنین حل مرجع [۱۰] آورده شده است. ملاحظه می شود که جواب‌های این دو مقاله از نظر کیفی با هم متفاوت می باشند. علاوه بر آن از آنجا که حل ارائه شده در این مقاله حل دقیق (در معادله دیفرانسیل صدق می کند) می باشد. از نظر کمی نیز با حل مرجع [۱۰] مقایسه گردیده است. مقایسه کمی نشان می دهد که درصد انحراف جواب مرجع [۱۰] نسبت به حل موجود حدود ۲۰٪ است که این اختلاف نشان می دهد که حل مرجع [۱۰] نمی تواند حتی حل تقریبی خوبی برای این مسئله تلقی شود.

فهرست متغیرها

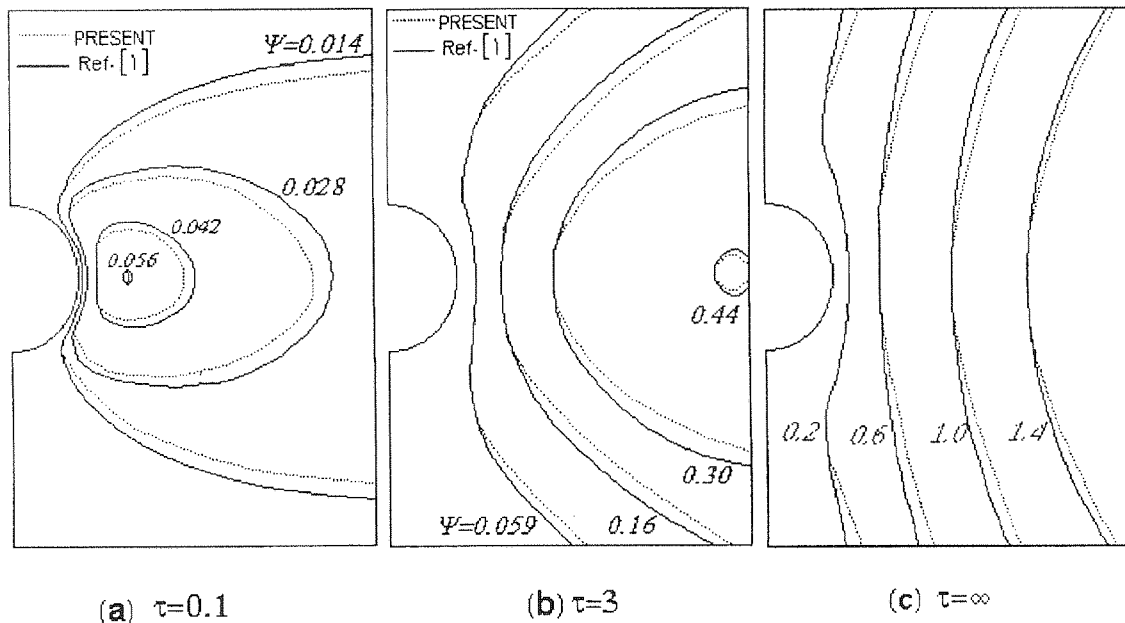
t	زمان
u	سرعت در جهت r
v	سرعت در جهت θ

حروف یونانی

α	ضریب پخش حرارت
β	ضریب انبساط حرارتی سیال
θ	مختصه محیطی
C	ظرفیت حرارتی
g	شتاب جاذبه
q	نرخ انتقال حرارت
r	مختصه شعاعی
Ra	عدد ریلی
T	درجه حرارت

زیرنویسها و بالانویسها

$'$	متغیرهای بعددار
C	محیط متخلف
f	محیط سیال
∞	شرایط در دوردست
W	شرایط روی دیواره کره
μ	ویسکوزیته
ϕ	مختصه سوم مختصات کروی
ρ	دانسیته
ψ	تابع جریان



(شکل ۱) مقایسه جواب‌های مقاله موجود و جواب‌های مرجع [۱۰]

مراجع

- [1] Afzal, N., and Salam, M. Y., Fluid Dynamics Research, 6, 175, 1990.
- [2] Bejan, A., "Natural Convection in a finite porous medium with concentrated heat source," Journal of Fluid Mechanics, 89, Part 1, pp. 97-107, 1978.
- [3] Bejan, A., "Convection Heat Transfer", John Wiley and Sons, 1984.
- [4] Cheng, P., "Natural Convection: Fundamentals and Applications", Hemisphere, Washington, DC, 1985.
- [5] Ganapathy, R. and Purushothaman, R., Fluid Dynamics Research, 9, 223, 1992.
- [6] Merkin, J. H., Int. J. Heat and Mass Transfer 22, 1461, 1979.
- [7] Nakayama, A. and Koyama, H., J Heat Transfer, 109, 125, 1987.
- [8] Pop, I., and Ingham, D.B., "Heat Transfer", Hemisphere, New York, 567, 1990.
- [9] Pop, I., Ingham, D.B., and Cheng, P. "Transient free convection about a horizontal circular cylinder in a porous medium", Fluid Dynamics Research, 12, pp. 295-305, 1993.
- [10] Pop, I., Ingham, D.B., and Cheng, P., "Transient Natural Convection in a Horizontal Concentric Annulus Filled with a Porous Medium", Transaction of ASME, 114, Nov. 1992.
- [11] Sano, T., Okihara, R., "Natural convection around a sphere immersed in a porous medium at small Rayleigh numbers", Fluid Dynamics Research, pp. 39-44, 1995.
- [12] Wooding, R., A., J Fluid Mechanics, 15, 527, 1963.
- [13] Yamaoto, K., Journal Phys. Soc. Japan 37, 1164, 1974.